Interazioni Elettrodeboli

prof. Francesco Ragusa Università di Milano

Lezione n. 21

19.12.2022

Rottura spontanea della simmetria. Modello di Higgs Masse dei bosoni vettoriali Rinormalizzazione

anno accademico 2022-2023

Il modello di Higgs[†]

- Ricordiamo l'equazione per un campo vettoriale di massa nulla
 - Ad esempio il potenziale elettromagnetico A^{μ}

$$\Box A^{\mu} - \partial^{\mu} (\partial_{\nu} A^{\nu}) = 0 \qquad \qquad \mathcal{L} = -\frac{1}{4} F^{\mu\nu} F_{\mu\nu} \qquad \qquad F^{\mu\nu} = \partial^{\mu} A^{\nu} - \partial^{\nu} A^{\mu}$$

$$\mathfrak{L} = -\frac{1}{4}F^{\mu\nu}F_{\mu\nu}$$

$$F^{\mu\nu} = \partial^{\mu}A^{\nu} - \partial^{\nu}A^{\mu}$$

- L'equazione per A^μ è invariante per trasformazioni di gauge $A'^\mu = A^\mu \partial^\mu \chi$
- Sappiamo inoltre che per un campo vettoriale con massa non nulla

$$(\Box + m^2) A^{\mu} - \partial^{\mu} (\partial_{\nu} A^{\nu}) = 0 \qquad \mathcal{L} = -\frac{1}{4} F^{\mu\nu} F_{\mu\nu} + \frac{1}{2} m^2 A^{\mu} A_{\mu}$$

$$\mathfrak{L} = -\frac{1}{4} F^{\mu\nu} F_{\mu\nu} + \frac{1}{2} m^2 A^{\mu} A_{\mu}$$

- Abbiamo notato che l'equazione non è invariante per trasformazioni di gauge
- Abbiamo anche visto che la consistenza dell'equazione impone che $\partial_{\mu}A^{\mu}=0$
- Consideriamo un campo scalare complesso ϕ (per il momento classico, $\dagger=*$)

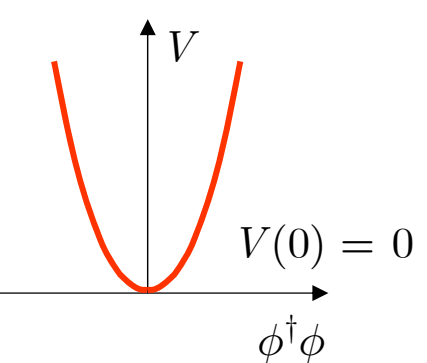
$$\mathcal{L} = \partial_{\mu} \phi^{\dagger} \partial^{\mu} \phi - V(\phi)$$

$$\mathcal{L} = \partial_{\mu} \phi^{\dagger} \partial^{\mu} \phi - V(\phi) \qquad V(\phi) = \frac{1}{4} \lambda (\phi^{\dagger} \phi)^{2} + \mu^{2} \phi^{\dagger} \phi$$

$$\lambda, \mu^2 > 0$$

- Si verifica facilmente che la Lagrangiana è invariante per trasformazioni globali di fase $\phi'(x) = e^{-i\alpha}\phi(x)$
- L'Hamiltoniana corrispondente è

$$\mathcal{H}(\phi, \phi^{\dagger}) = \dot{\phi}^{\dagger} \dot{\phi} + \nabla \phi^{\dagger} \cdot \nabla \phi + V(\phi)$$



- Si verifica che l'Hamiltoniana ha un minimo per $\phi^{\dagger}\phi=0$
- †Aitchison I., Hey A. Gauge Theories in Particle Physics (3rd ed.) Vol. 2 IoP 2004 § 19.3

- L'Hamiltoniana precedente può essere vista come limite di un sistema discreto
 - Corrisponde a un oscillatore anarmonico (si può sostituire ϕ^\dagger , $\phi o x^*$, x)
 - ullet Per $\lambda=0$ abbiamo l'oscillatore armonico di una particella di massa μ
 - Oscillazioni intorno a x=0
 - Il caso $\lambda \neq 0$ può essere trattato perturbativamente
 - ullet Si possono trovare le soluzioni espandendo intorno a x=0
- ullet Consideriamo adesso ϕ come un campo quantistico
 - Limite continuo di oscillatori quantistici
 - Per $\lambda=0$ è un campo libero che descrive particelle di massa μ
 - Possiamo sviluppare il campo in operatori di creazione e distruzione

$$\hat{\phi}(x) = \int \frac{d^3 \mathbf{k}}{(2\pi)^3 \sqrt{2k_0}} \left[\hat{a}_{\mathbf{k}} e^{-ik \cdot x} + \hat{b}_{\mathbf{k}} e^{ik \cdot x} \right] \qquad k_0 = \sqrt{\mathbf{k}^2 + \mu^2}$$

• Si ipotizza che esista uno stato |0> (il vuoto)

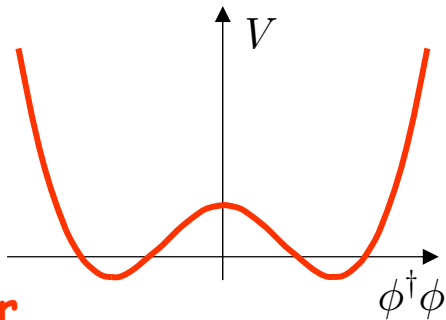
$$\hat{a}_{\mathbf{k}} |0\rangle = 0$$
 $\hat{b}_{\mathbf{k}} |0\rangle = 0$ $\langle 0 | \hat{\phi}(x) | 0 \rangle = 0$

• L'espressione $<0|\phi|0>=0$ è la forma quantistica che corrisponde all'affermazione classica che il potenziale ha un minimo per $\phi^\dagger\phi=0$

• Consideriamo adesso il caso in cui $\lambda \neq 0$ e μ^2 appaia con segno negativo

$$V(\phi) = \frac{1}{4}\lambda (\phi^{\dagger}\phi)^2 - \mu^2 \phi^{\dagger}\phi$$

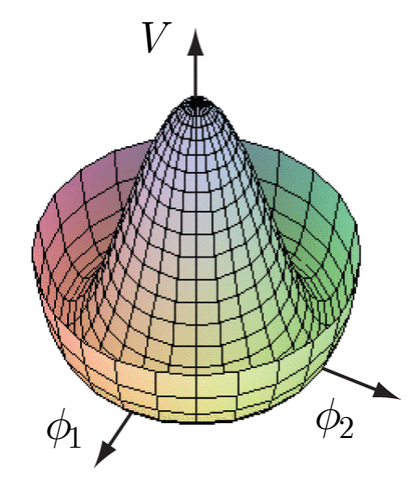
- Il potenziale ha adesso minimi locali per $\phi^\dagger \phi = \frac{2\mu^2}{\lambda}$
- ullet Per $\phi^\dagger\phi=0$ il sistema adesso non ha un minimo



- Non si può più trattare il sistema "libero" $(\lambda=0)$ per poi trovare correzioni perturbative
- Il potenziale va trattato nel suo complesso fin dall'inizio
 - Il sistema è simmetrico nel piano ϕ_1 ϕ_2
 - Ci sono infiniti minimi per

$$\phi_1^2 + \phi_2^2 = \frac{4\mu^2}{\lambda} \equiv v^2$$

- ullet Per i valori indicati di ϕ l'Hamiltoniana ha un minimo
 - Si possono trovare soluzioni perturbative intorno a questi minimi
 - Naturalmente occorre scegliere un particolare minimo fra gli infiniti minimi possibili
 - · La scelta rompe la simmetria



$$\phi = \frac{1}{\sqrt{2}}(\phi_1 - i\phi_2)$$

- Consideriamo ancora il campo ϕ come un campo quantistico (interagente: $\lambda \neq 0$)
 - Nel caso precedente $(+\mu^2)$ avevamo assunto
 - Che lo stato vuoto fosse unico (implicitamente)
 - Che il valore di aspettazione del campo nel vuoto fosse uguale al valore classico che minimizzava il potenziale
 - Nel caso in esame $(-\mu^2)$ le cose sono differenti
 - Lo stato vuoto non è unico: esistono infiniti stati degeneri
 - Il valore di aspettazione del campo nel vuoto non è nullo
 - Assumiamo (definiamo v) $\langle 0 | \hat{\phi}(x) | 0 \rangle = \frac{v}{\sqrt{2}}$
 - Scriviamo il campo ϕ in un modo alternativo
 - Utilizziamo una rappresentazione che utilizza le coordinate polari

$$\phi(x) = \frac{\rho(x)}{\sqrt{2}} \exp\left[i\frac{\theta(x)}{v}\right]$$

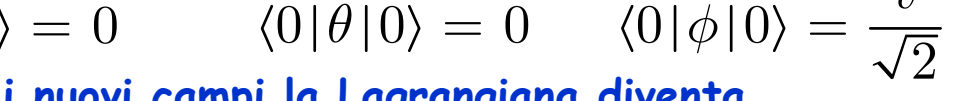
- L'introduzione (convenzionale) di v nell'esponenziale fa si che ϕ, ρ, θ abbiano tutti le stesse dimensioni
- La condizione di minimo adesso si esprime come: ho=v, per heta arbitrario

- ullet Utilizzando la nuova espressione di ϕ osserviamo che
- $\phi(x) = \frac{\rho(x)}{\sqrt{2}} \exp \left| i \frac{\theta(x)}{v} \right|$
- ullet Un particolare vuoto equivale a un particolare heta
- Interpretato come oscillatore il sistema esibisce oscillazioni in ho intorno alla posizione di equilibrio ho=v
- Risulta pertanto conveniente riscrivere ϕ come

$$\hat{\phi}(x) = \frac{v + \hat{h}(x)}{\sqrt{2}} \exp\left[i\frac{\hat{\theta}(x)}{v}\right]$$



$$\langle 0|\hat{h}|0\rangle = 0 \qquad \langle 0|\hat{\theta}|0\rangle = 0 \qquad \langle 0|\hat{\phi}|0\rangle = \frac{v}{\sqrt{2}}$$

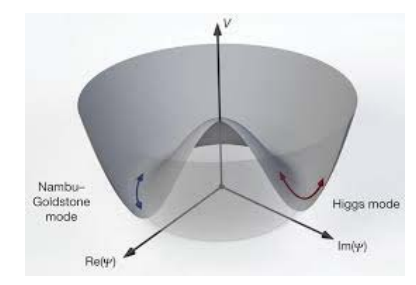




$$\mathcal{L} = \frac{1}{2} \partial_{\mu} \hat{h} \partial^{\mu} \hat{h} - \mu^{2} \hat{h}^{2} + \frac{1}{2} \partial_{\mu} \hat{\theta} \partial^{\mu} \hat{\theta} + \frac{\mu^{4}}{\lambda} + \dots$$

- I puntini rappresentano termini cubici e quartici in h e θ (interazioni)
- Il termine μ^4/λ proviene dal valore minimo del potenziale
- La lagrangiana descrive
 - Un campo reale h(x) che ha massa $\sqrt{2}\mu$ modo di Higgs
 - Un campo reale $\theta(x)$ con massa nulla





 ϕ_2

- Consideriamo il modello precedente per il quale richiediamo adesso l'invarianza di gauge locale per il gruppo U(1): $\phi'(x) = \exp[-i\alpha(x)]\phi(x)$
 - Introduciamo la derivata covariante: $\partial^{\mu}
 ightarrow \, \partial^{\mu} + i q A^{\mu}$
 - In corrispondenza alla trasformazione di fase $\to A'^\mu = A^\mu + rac{1}{q} \partial^\mu \alpha$ (x)
 - Aggiungiamo la Lagrangiana del campo elettromagnetico (senza massa)

$$\mathcal{L} = \left[\left(\partial_{\mu} + i q A_{\mu} \right) \phi \right]^{\dagger} \left[\left(\partial^{\mu} + i q A^{\mu} \right) \phi \right] - \frac{1}{4} F_{\mu\nu} F^{\mu\nu} - \frac{1}{4} \lambda \left(\phi^{\dagger} \phi \right)^{2} + \mu^{2} \phi^{\dagger} \phi$$

- Notiamo che questo sistema contiene 4 gradi di libertà
 - ullet Due gradi libertà del campo complesso ϕ
 - ullet Due gradi di libertà del campo senza massa A^{μ}
- ullet Anche in questo caso è conveniente utilizzare la rappresentazione per ϕ

$$\phi(x) = \frac{v + h(x)}{\sqrt{2}} \exp\left[i\frac{\theta(x)}{v}\right]$$

- Notiamo che l'introduzione di A^μ rende il campo heta completamente arbitrario
 - Qualsiasi trasformazione di fase di ϕ può essere compensata da una trasformazione di gauge per A^μ che lascia la Lagrangiana invariante

ullet Tramite le equazioni di Eulero-Lagrange si ottiene l'equazione per A^{μ}

$$\Box A^{\mu} - \partial^{\mu} \left(\partial_{\nu} A^{\nu} \right) = j^{\mu} \qquad j^{\mu} = \phi^{\dagger} \partial^{\mu} \phi - \left(\partial^{\mu} \phi^{\dagger} \right) \phi - 2q^{2} A^{\mu} \phi^{\dagger} \phi$$

- Il campo è accoppiato alla corrente
- Si può dimostrare che l'inserimento della rappresentazione di ϕ in coordinate polari porta alla seguente espressione per j^μ

$$j^{\mu} = -v^2 q^2 \left(A^{\mu} - \frac{\partial^{\mu} \theta}{vq} \right) + \dots$$

- I puntini sono termini quadratici e cubici nei campi
 - · Ulteriori contributi alla corrente
- Inseriamo nell'equazione per A^{μ}

$$\Box A^{\mu} - \partial^{\mu} \left(\partial_{\nu} A^{\nu} \right) = -v^2 q^2 \left(A^{\mu} - \frac{\partial^{\mu} \theta}{vq} \right) + \dots$$

- In termine fra parentesi ha esattamente la forma di una $A'^\mu = A^\mu \frac{1}{q} \frac{\partial^\mu \theta}{v}$ trasformazione di gauge per il campo elettromagnetico
 - Sappiamo che la trasformazione lascia invariato il primo membro L'equazione diventa

$$\Box A^{\prime \mu} + v^2 q^2 A^{\prime \mu} - \partial^{\mu} (\partial_{\nu} A^{\prime \nu}) = \dots$$

ullet L'equazione di un campo vettoriale di massa m=vq !



• La trasformazione di gauge applicata al campo A^{μ} è

$$A'^{\mu}=A^{\mu}-rac{1}{q}rac{\partial^{\mu} heta}{v}$$

• A questa deve corrispondere una trasformazione di fase per il campo scalare

$$\phi(x) \to \phi'(x) = e^{i\alpha(x)}\phi(x)$$
 $\alpha(x) = -\frac{\theta(x)}{v}$

$$\alpha(x) = -\frac{\theta(x)}{v}$$

Ricordando la rappresentazione

$$\phi(x) = \frac{v + h(x)}{\sqrt{2}} \exp\left[i\frac{\theta(x)}{v}\right] \longrightarrow \phi'(x) = \phi(x) \exp\left[-i\frac{\theta}{v}\right] = \frac{v + h(x)}{\sqrt{2}}$$

- Il campo θ è sparito: è stato assorbito dal campo A'^{μ} gauged away
- Il campo vettoriale ha massa m=vq e ha tre stati di polarizzazione
- Il numero totale di gradi di libertà è sempre 4
- Nel gauge che stiamo considerando
 - Il campo ϕ' è reale e pertanto ha un solo grado di libertà
 - Il campo vettoriale A'^{μ} ha massa m=vq e ha tre gradi di libertà
- Nel gauge originale
 - ullet Il campo ϕ è complesso e ha due gradi di libertà
 - ullet Il campo vettoriale A^μ ha massa nulla e ha due gradi di libertà
- Il sistema è sempre lo stesso
 - L'interpretazione in termini di particelle dipende dal gauge

- Abbiamo osservato (senza dimostrarlo) che la rinormalizzabilità della teoria richiede che i bosoni vettoriali siano senza massa
 - In contrasto con la natura a corto range dell'interazione debole
- Il problema viene risolto
 - Con l'introduzione di un termine gauge-invariante nella lagrangiana che rappresenta una particella scalare con auto-interazione
 - Con la rottura spontanea della simmetria
- Il campo di Higgs (la particella scalare) è un doppietto di isospin debole T=1/2 con ipercarica Y=1

$$\phi = \begin{pmatrix} \phi^+ \\ \phi^0 \end{pmatrix} \qquad \phi^+ = \frac{\theta_2 + i\theta_1}{\sqrt{2}}$$
$$\phi^0 = \frac{\theta_4 - i\theta_3}{\sqrt{2}}$$

• La sua Lagrangiana è

$$\mathfrak{L} = \left(i\partial_{\mu}\phi\right)^{\dagger}\left(i\partial^{\mu}\phi\right) - V\left(\phi\right) \equiv \left|i\partial_{\mu}\phi\right|^{2} - V\left(\phi\right) \qquad V\left(\phi\right) = \mu^{2}\left(\phi^{\dagger}\phi\right) + \lambda\left(\phi^{\dagger}\phi\right)^{2}$$

• L'interazione del campo di Higgs con i bosoni vettoriali viene introdotta con la sostituzione dell'operatore derivazione ∂_μ con quello covariante D_μ

$$D_{\mu} = \partial_{\mu} + ig_1 \frac{\boldsymbol{\tau}}{2} \cdot \mathbf{W}_{\mu}(x) + ig_2 \frac{Y}{2} B_{\mu}$$

• Sostituendo otteniamo, per la parte cinetica, quella importante per le masse

$$\mathfrak{L} = \left| \partial_{\mu} \phi + i g_1 \frac{\boldsymbol{\tau}}{2} \cdot \mathbf{W}_{\mu} \left(\boldsymbol{x} \right) \phi + i g_2 \frac{\boldsymbol{Y}}{2} B_{\mu} \phi \right|^2 + \dots$$

• La parte che da origine alle masse è

$$\mathfrak{L}_{M} = \left| \left(ig_{1} \frac{\boldsymbol{\tau}}{2} \cdot \mathbf{W}_{\mu} \left(\boldsymbol{x} \right) + ig_{2} \frac{\boldsymbol{Y}}{2} B_{\mu} \right) \boldsymbol{\phi} \right|^{2}$$

$$\mathfrak{L}_{M} = \frac{1}{4} \left[\left[g_{1} \begin{pmatrix} W_{\mu}^{3} & W_{\mu}^{1} - iW_{\mu}^{2} \\ W_{\mu}^{1} + iW_{\mu}^{2} & -W_{\mu}^{3} \end{pmatrix} + g_{2} \begin{pmatrix} B_{\mu} & 0 \\ 0 & B_{\mu} \end{pmatrix} \right] \begin{pmatrix} \phi^{+} \\ \phi^{0} \end{pmatrix}^{2}$$

$$\mathfrak{L}_{M} = \frac{1}{4} \begin{bmatrix} g_{1}W_{\mu}^{3} + g_{2}B_{\mu} & g_{1}\left(W_{\mu}^{1} - iW_{\mu}^{2}\right) \\ g_{1}\left(W_{\mu}^{1} + iW_{\mu}^{2}\right) & -W_{\mu}^{3} + g_{2}B_{\mu} \end{bmatrix} \begin{pmatrix} \phi^{+} \\ \phi^{0} \end{pmatrix}^{2}$$

- La rottura spontanea della simmetria si ottiene assumendo che il campo ϕ abbia un valore di aspettazione nel vuoto $\phi_v = \left<0\left|\phi\right|0\right> = \frac{1}{\sqrt{2}} \binom{0}{v}$ diverso da zero
 - Il campo con valore di aspettazione diverso da zero è θ_4 $\theta_4 = v + h(x)$
 - Gli altri hanno valore di aspettazione nullo: $<\!\theta_1>=<\!\theta_2>=<\!\theta_2>=<\!h>=\!0$
- In termini di campi con valori di aspettazione nulli il campo di Higgs si esprime

$$\phi(x) = \frac{1}{\sqrt{2}} \begin{pmatrix} \theta_2(x) + i\theta_1(x) \\ v + h(x) - i\theta_3(x) \end{pmatrix} = \phi_v + \frac{1}{\sqrt{2}} \begin{pmatrix} \theta_2(x) + i\theta_1(x) \\ h(x) - i\theta_3(x) \end{pmatrix}$$

ullet I termini che generano la massa dei bosoni sono quelli che dipendono da ϕ_v

• Isolando il termine che contiene il valore di aspettazione nel vuoto ϕ_v otteniamo $|(-u)^3| = P - (u)^4 - (u)^2$

$$\mathfrak{L}_{M} = \frac{1}{8} \left| \begin{pmatrix} g_{1}W_{\mu}^{3} + g_{2}B_{\mu} & g_{1}\left(W_{\mu}^{1} - iW_{\mu}^{2}\right) \\ g_{1}\left(W_{\mu}^{1} + iW_{\mu}^{2}\right) & -W_{\mu}^{3} + g_{2}B_{\mu} \end{pmatrix} \begin{pmatrix} 0 \\ v \end{pmatrix} \right|^{2}$$

$$\mathfrak{L}_{M} \, = \frac{1}{8} \Big| \, g_{1} v \Big[(W^{1})^{\mu} \, - \, i (W^{2})_{\mu} \, \Big] \Big|^{2} \, + \, \frac{1}{8} \Big| \, v \Big(- g_{1} W_{\mu}^{3} \, + \, g_{2} B_{\mu} \, \Big) \Big|^{2} \qquad \boxed{W_{\mu}^{\pm} \, = \, \frac{W_{\mu}^{1} \, \mp \, i \, W_{\mu}^{2}}{\sqrt{2}}}$$

$$\mathfrak{L}_{M} = \left(\frac{1}{2}vg_{1}\right)^{2}(W^{+})_{\mu}(W^{-})^{\mu} + \frac{1}{8}v^{2}\begin{pmatrix}W_{\mu}^{3} & B_{\mu}\end{pmatrix}\begin{pmatrix}g_{1}^{2} & -g_{1}g_{2}\\ -g_{1}g_{2} & g_{2}^{2}\end{pmatrix}\begin{pmatrix}W^{3\mu}\\ B^{\mu}\end{pmatrix}$$

• Il primo termine ha la forma di un termine di massa per un bosone vettoriale carico di massa

$$M_W^2(W^+)_{\mu}(W^-)^{\mu}$$

$$M_W \, = \frac{1}{2} v g_1$$

- Il secondo termine, una forma quadratica non diagonale rispetto ai campi $W_{\mu}{}^3$ e B_{μ}
 - Può essere messa in forma diagonale diagonalizzando la matrice

$$\begin{pmatrix} g_1^2 & -g_1g_2 \\ -g_1g_2 & g_2^2 \end{pmatrix}$$

• Troviamo gli autovalori della matrice

$$\begin{vmatrix} \left(g_1^2 - \lambda & -g_1 g_2 \\ -g_1 g_2 & g_2^2 - \lambda \end{vmatrix} = g_1^2 g_2^2 - \lambda \left(g_1^2 + g_2^2\right) + \lambda^2 - g_1^2 g_2^2 = \lambda^2 - \lambda \left(g_1^2 + g_2^2\right) \quad \lambda = \begin{cases} 0 \\ g_1^2 + g_2^2 \end{cases}$$

- L'equazione agli autovalori $Mu=\lambda u$ per $\lambda=\mathbf{0}$ $\begin{pmatrix} g_1^2 & -g_1g_2 \\ -g_1g_2 & g_2^2 \end{pmatrix} \begin{pmatrix} x \\ y \end{pmatrix} = \begin{pmatrix} 0 \\ 0 \end{pmatrix}$ $g_1x-g_2y=0$ una soluzione è $w=\begin{pmatrix} 1 \\ g_1 \\ g_2 \end{pmatrix}$

$$N^{2} = \left| w \right|^{2} = \frac{g_{1}^{2} + g_{2}^{2}}{g_{2}^{2}} \quad u_{1} = \frac{w}{N} = \frac{1}{\sqrt{g_{1}^{2} + g_{2}^{2}}} \begin{pmatrix} g_{2} \\ g_{1} \end{pmatrix}$$

Definiamo

$$\sin \theta_W = \frac{g_2}{\sqrt{g_1^2 + g_2^2}} \qquad \cos \theta_W = \frac{g_1}{\sqrt{g_1^2 + g_2^2}} \qquad \tan \theta_W = \frac{g_2}{g_1}$$

ullet Le soluzioni (ortogonali, M è simmetrica) sono pertanto

$$u_1 = \begin{pmatrix} \sin \theta_W \\ \cos \theta_W \end{pmatrix} \qquad u_2 = \begin{pmatrix} \cos \theta_W \\ -\sin \theta_W \end{pmatrix}$$



- Diagonalizzare la matrice si ottiene passando ad una nuova base ruotando i vettori con $R(\theta_W)$ $R(\theta_W) = \begin{bmatrix} \cos\theta_W & \sin\theta_W \\ -\sin\theta_W & \cos\theta_W \end{bmatrix}$
 - Per la nuova base otteniamo pertanto le combinazioni lineari

$$A_{\mu} = \cos \theta_W B_{\mu} + \sin \theta_W W_{\mu}^3$$

$$Z_{\mu} = -\sin \theta_W B_{\mu} + \cos \theta_W W_{\mu}^3$$

· Con queste combinazioni lineari il termine della lagrangiana diventa

$$\begin{split} \mathcal{L}_{M} &= \frac{1}{8} \Big| v \Big(-g_{1} W_{\mu}^{3} + g_{2} B_{\mu} \Big) \Big|^{2} = \frac{1}{8} v^{2} \Big(g_{1}^{2} + g_{2}^{2} \Big) \frac{\Big| \Big(g_{1} W_{\mu}^{3} - g_{2} B_{\mu} \Big) \Big|^{2}}{g_{1}^{2} + g_{2}^{2}} + 0 \frac{\Big| \Big(g_{1} W_{\mu}^{3} + g_{2} B_{\mu} \Big) \Big|^{2}}{g_{1}^{2} + g_{2}^{2}} \\ &= \frac{1}{8} v^{2} \Big(g_{1}^{2} + g_{2}^{2} \Big) \Big| \Big(\cos \theta_{W} W_{\mu}^{3} - \sin \theta_{W} B_{\mu} \Big) \Big|^{2} + 0 \Big| \Big(\sin \theta_{W} W_{\mu}^{3} + \cos \theta_{W} B_{\mu} \Big) \Big|^{2} \\ &= \frac{1}{2} M_{Z}^{2} \Big| Z_{\mu} \Big|^{2} + 0 \Big| A_{\mu} \Big|^{2} \\ &M_{Z} = \frac{1}{2} v \sqrt{g_{1}^{2} + g_{2}^{2}} \end{split}$$

- A_{μ} corrisponde all'autovalore $\lambda=0$
 - È il fotone, il mediatore delle correnti elettromagnetiche
- ${m Z}_{\mu}$ corrisponde all'autovalore $\;\lambda = g_1^2 + g_2^2$
 - ullet il bosone Z^0 , il mediatore delle correnti neutre

- La rottura spontanea della simmetria permette di trovare relazioni fra le masse e le costanti di accoppiamento
 - ullet Il valore di aspettazione nel vuoto del campo di Higgs è $v=<\!\!\phi\!\!>$

$$M_W = \frac{1}{2}\,g_1 v \qquad M_Z = \frac{1}{2}\,v\sqrt{g_1^2+g_2^2} \qquad \text{ovviamente} \qquad \boxed{\frac{M_W}{M_Z} = \cos\theta_W}$$

- Qual è la relazione di g_1 con G (Fermi) ?
 - Ricordiamo la definizione della correnti $J_{\mu}=J^{+}$

$$J_{+} = \overline{\ell}_{L} \gamma_{\mu} \tau_{+} \ell_{L} = \overline{\nu}_{e} \gamma_{\mu} \frac{1}{2} (1 - \gamma^{5}) e = J_{\mu}$$

- Differisce dalle correnti utilizzate per il decadimento β per il fattore $\frac{1}{2}$
- L'ampiezza per la interazione di Fermi con la corrente qui definita è $\mathfrak{M} = \frac{4G}{\sqrt{2}} J_+^\mu J_\mu^+$
- I bosoni W^\pm hanno massa M_W e un propagatore (vedi diapositiva $\underline{609}$)
 - Il propagatore è proporzionale a $\frac{1}{M_W^2-q^2}$

$$\mathfrak{M} = \frac{g_1^2}{2} \frac{1}{M_W^2 - q^2} J_+^\mu J_\mu^+ \xrightarrow{-q^2 \to 0} \frac{g_1^2}{2M_W^2} J_+^\mu J_\mu^+ \qquad \qquad \text{da cui} \qquad \frac{g_1^2}{2M_W^2} = \frac{4G}{\sqrt{2}}$$

• Possiamo calcolare il valore di aspettazione del campo di Higgs nel vuoto

$$\begin{split} M_W &= \frac{1}{2} \, g_1 v \qquad M_Z = \frac{1}{2} \, v \sqrt{g_1^2 + g_2^2} \qquad \frac{g_1^2}{2 M_W^2} = \frac{4G}{\sqrt{2}} \\ \frac{4G}{\sqrt{2}} &= \frac{g_1^2}{2 M_W^2} = \frac{g_1^2}{2 \left(\frac{1}{2} \, g_1 v\right)^2} = \frac{2}{v^2} \qquad \frac{G}{\sqrt{2}} = \frac{1}{2 v^2} \end{split} \qquad v^2 = \frac{1}{\sqrt{2}G}$$

- Utilizzando il valore di $G=1.16{ imes}10^{-5}~{
 m GeV}^{-2}$ si trova $vpprox 246~{
 m GeV}$
- - ullet Otteniamo la previsione della massa del bosone W

$$M_W = \sqrt{\frac{\pi \alpha}{\sqrt{2}G\sin^2\theta_W}} \qquad M_W = \frac{37.38}{\sin\theta_W}$$

• Utilizzando la misura sperimentale $\sin^2\!\theta_{\,W} pprox 0.23$

$$M_W \approx 78 \, \mathrm{GeV} \qquad \cos^2 \theta_W = 0.77$$

$$M_Z = \frac{M_W}{\cos \theta_W} \approx 89 \, \mathrm{GeV}$$

- Differiscono molto dai valori sperimentali
- · Calcolo al primo ordine
 - Correzioni radiative importanti

- La unificazione delle forze deboli ed elettromagnetica non è completa:
 - Abbiamo introdotto due costanti di accoppiamento indipendenti g_1 e g_2
- Una completa unificazione richiederebbe una unica costante di accoppiamento
- La rottura spontanea e la forma della corrente elettromagnetica fissano il rapporto fra le due costanti

$$g_1 \sin \theta_W \, = \, g_2 \cos \theta_W$$

- ullet Per definire il modello occorre misurare 3 quantità: ad esempio $g_{\scriptscriptstyle 1}$, $g_{\scriptscriptstyle 2}$, v
 - Sono possibili altre scelte:
 - ullet La carica elettrica (lpha) e le masse dei bosoni W e Z
 - ullet Le grandezze misurate con gli errori più piccoli: lpha, G, M_Z
- Ricordiamo le più importanti relazioni al "tree level"
 - Senza correzioni di ordine superiore

$$\cos^2 \theta_W = \frac{g_2^2}{g_1^2 + g_2^2} \qquad \sin^2 \theta_W = \frac{g_1^2}{g_1^2 + g_2^2}$$

- Infine riepiloghiamo le relazioni fra le costanti di accoppiamento
 - Sono valide solo a livello d'albero

$$e = g_1 \sin \theta_W = g_2 \cos \theta_W$$

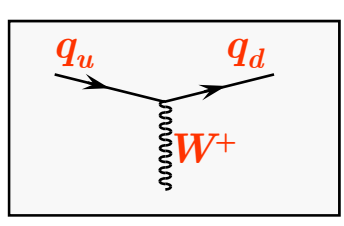
$$\frac{g_1^2}{2M_W^2} = \frac{4G}{\sqrt{2}}$$

$$G = \frac{e^2}{4\sqrt{2}M_W^2\sin^2\theta_W} = \frac{\pi\alpha}{\sqrt{2}M_W^2\sin^2\theta_W}$$

$$G = \frac{\pi \alpha}{\sqrt{2} M_Z^2 \cos^2 \theta_W \sin^2 \theta_W}$$

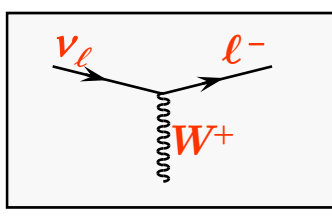
Interazioni nel modello standard

Corrente Carica quark



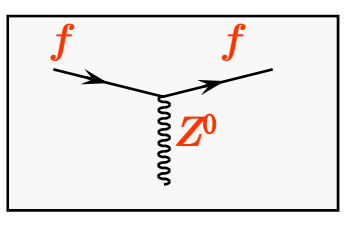
$$J_{\mu}^{-} = V_{q_u q_d} \frac{-ie}{\sqrt{2} \sin \theta_W} \overline{q}_u \gamma_{\mu} \frac{1}{2} (1 - \gamma^5) q_d$$

Corrente Carica leptoni



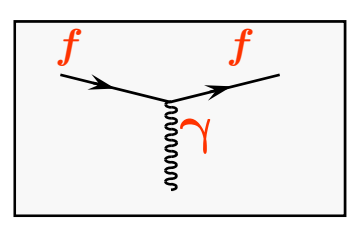
$$J_{\mu}^{-} = \frac{-ie}{\sqrt{2}\sin\theta_{W}} \overline{\nu}_{\ell} \gamma_{\mu} \frac{1}{2} (1 - \gamma^{5}) \ell$$

Corrente neutra



$$J_{\mu}^{NC} = \frac{-ie}{\cos\theta_W \sin\theta_W} \frac{1}{2} \overline{f} \gamma_{\mu} \left[\left(1 - \gamma^5 \right) T_f^3 - 2Q_f \sin^2\theta_W \right] f$$

Corrente elettromagnetica



$$J_{\mu}^{em} = -ieQ_{f}\overline{f}\gamma_{\mu}f$$

Interazioni nel modello standard

- Abbiamo detto che la corrente neutra per i fermioni carichi contiene una parte Left-Handed e una parte Right-Handed
 - Mettiamo in evidenza questo aspetto
- Partiamo da

$$J_{\mu}^{NC} = \frac{-ie}{\cos\theta_W \sin\theta_W} \frac{1}{2} \overline{f} \gamma_{\mu} \left[v_f - a_f \gamma^5 \right] f$$

ullet Vogliamo trovare i coefficienti g_R e g_L tali che

$$J_{\mu}^{NC} = \frac{-ie}{\cos\theta_W \sin\theta_W} \frac{1}{2} \overline{f} \gamma_{\mu} \left[g_R^f \left(1 + \gamma^5 \right) + g_L^f \left(1 - \gamma^5 \right) \right] f$$

• Deve essere

$$g_R^f \left(1 + \gamma^5\right) + g_L^f \left(1 - \gamma^5\right) = v_f - a_f \gamma^5$$

• Da cui

$$\begin{cases} g_R^f + g_L^f = v_f \\ g_R^f - g_L^f = -a_f \end{cases} \begin{cases} g_R^f = \frac{v_f - a_f}{2} \\ g_L^f = \frac{v_f + a_f}{2} \end{cases}$$

Interazioni nel modello standard

ullet Ricordiamo che per un fermione f

$$v_f = T_f^3 - 2Q_f \sin^2 \theta_W \qquad a_f = T_f^3$$

$$\begin{cases} g_R^f = \frac{v_f - a_f}{2} \\ g_L^f = \frac{v_f + a_f}{2} \end{cases}$$

- Esempi
 - Per i leptoni

$$\begin{cases} g_R^e = \sin^2 \theta_W \\ g_L^e = -\frac{1}{2} + \sin^2 \theta_W \end{cases}$$

• Per i quark

$$\begin{cases} g_R^u = -\frac{2}{3}\sin\theta_W \\ g_L^u = \frac{1}{2} - \frac{2}{3}\sin\theta_W \end{cases}$$

$$\begin{cases} g_R^f = -Q_f \sin \theta_W \\ g_L^f = T_f^3 - Q_f \sin \theta_W \end{cases}$$
$$\begin{cases} g_R^{\nu} = 0 \\ g_L^{\nu} = \frac{1}{2} \end{cases}$$

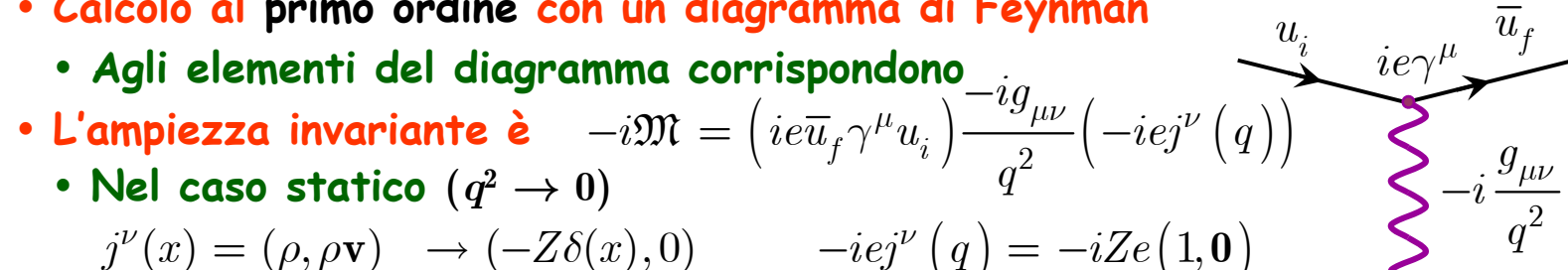
$$\begin{cases} g_R^d = \frac{1}{3}\sin\theta_W \\ g_L^u = -\frac{1}{2} + \frac{1}{3}\sin\theta_W \end{cases}$$

La lagrangiana completa!!

https://www.symmetrymagazine.org/article/the-deconstructed-standard-model-equation

```
-{\textstyle\frac{1}{2}}\partial_\nu g^a_u\partial_\nu g^a_u - g_s f^{abc}\partial_\mu g^a_\nu g^b_\mu g^c_\nu - {\textstyle\frac{1}{4}} g^2_s f^{abc} f^{ade} g^b_\mu g^c_\nu g^d_\mu g^e_\nu +
                                               \frac{1}{2}ig_s^2(\bar{q}_i^\sigma\gamma^\mu q_i^\sigma)g_\mu^a + \bar{G}^a\partial^2G^a + g_sf^{abc}\partial_\mu\bar{G}^aG^bg_\mu^c - \partial_\nu W_\mu^+\partial_\nu W_\mu^- - g_\mu^aG^bg_\mu^c - g_
 2 M^2 W_{\mu}^{+} W_{\mu}^{-} - \frac{1}{2} \partial_{\nu} Z_{\mu}^{0} \partial_{\nu} Z_{\mu}^{0} - \frac{1}{2c^{2}} M^2 Z_{\mu}^{0} Z_{\mu}^{0} - \frac{1}{2} \partial_{\mu} A_{\nu} \partial_{\mu} A_{\nu} - \frac{1}{2} \partial_{\mu} H \partial_{\mu} H 
                     \frac{1}{2}m_h^2H^2 - \partial_{\mu}\phi^+\partial_{\mu}\phi^- - M^2\phi^+\phi^- - \frac{1}{2}\partial_{\mu}\phi^0\partial_{\mu}\phi^0 - \frac{1}{2c^2}M\phi^0\phi^0 - \beta_h\left[\frac{2M^2}{a^2} + \frac{1}{2c^2}(M\phi^0\phi^0 - M\phi^0\phi^0)\right] + \frac{1}{2}m_h^2H^2 - \frac{1}{2}m_h^2H^2 - \frac{1}{2}m_h^2\phi^0 - \frac{1}{
                                   \left[\frac{2M}{a}H + \frac{1}{2}(H^2 + \phi^0\phi^0 + 2\phi^+\phi^-)\right] + \frac{2M^4}{a^2}\alpha_h - igc_w[\partial_\nu Z_\mu^0(W_\mu^+W_\nu^- - \psi^0)]
                                                           W_{\nu}^{+}W_{\mu}^{-}) - Z_{\nu}^{0}(W_{\mu}^{+}\partial_{\nu}W_{\mu}^{-} - W_{\mu}^{-}\partial_{\nu}W_{\mu}^{+}) + Z_{\mu}^{0}(W_{\nu}^{+}\partial_{\nu}W_{\mu}^{-})
                                      W_{\nu}^{-}\partial_{\nu}W_{\mu}^{+})] - igs_{w}[\partial_{\nu}A_{\mu}(W_{\mu}^{+}W_{\nu}^{-} - W_{\nu}^{+}W_{\mu}^{-}) - A_{\nu}(W_{\mu}^{+}\partial_{\nu}W_{\mu}^{-} - W_{\mu}^{-}W_{\mu}^{-})]
                             W_{\mu}^{-}\partial_{\nu}W_{\mu}^{+}) + A_{\mu}(W_{\nu}^{+}\partial_{\nu}W_{\mu}^{-} - W_{\nu}^{-}\partial_{\nu}W_{\mu}^{+})] - \frac{1}{2}g^{2}W_{\mu}^{+}W_{\mu}^{-}W_{\nu}^{+}W_{\nu}^{-} +
                                                      \frac{1}{2}g^2W_{\mu}^+W_{\nu}^-W_{\mu}^+W_{\nu}^- + g^2c_w^2(Z_{\mu}^0W_{\mu}^+Z_{\nu}^0W_{\nu}^- - Z_{\mu}^0Z_{\mu}^0W_{\nu}^+W_{\nu}^-) +
                                          g^2 \tilde{s}_w^2 (A_\mu W_\mu^+ A_\nu W_\nu^- - A_\mu A_\mu W_\nu^+ W_\nu^-) + g^2 s_w c_w [A_\mu Z_\nu^0 (W_\mu^+ W_\nu^- - A_\mu A_\mu W_\nu^+ W_\nu^-)] + g^2 s_w c_w [A_\mu Z_\nu^0 (W_\mu^+ W_\nu^- - A_\mu A_\mu W_\nu^+ W_\nu^-)]
                                                   W_{\nu}^{+}W_{\mu}^{-} -2A_{\mu}Z_{\mu}^{0}W_{\nu}^{+}W_{\nu}^{-}] - g\alpha[H^{3} + H\phi^{0}\phi^{0} + 2H\phi^{+}\phi^{-}] -
                        \frac{1}{9}g^2\alpha_h[H^4+(\phi^0)^4+4(\phi^+\phi^-)^2+4(\phi^0)^2\phi^+\phi^-+4H^2\phi^+\phi^-+2(\phi^0)^2H^2]-
                                               gMW_{\mu}^{+}W_{\mu}^{-}H - \frac{1}{2}g\frac{M}{c^{2}}Z_{\mu}^{0}Z_{\mu}^{0}H - \frac{1}{2}ig[W_{\mu}^{+}(\phi^{0}\partial_{\mu}\phi^{-} - \phi^{-}\partial_{\mu}\phi^{0}) -
                      W_{\mu}^{-}(\phi^{0}\partial_{\mu}\phi^{+}-\phi^{+}\partial_{\mu}\phi^{0})]+\frac{1}{2}g[W_{\mu}^{+}(H\partial_{\mu}\phi^{-}-\phi^{-}\partial_{\mu}H)-W_{\mu}^{-}(H\partial_{\mu}\phi^{+}-\phi^{-}\partial_{\mu}H)]
                      [\phi^{+}\partial_{\mu}H)] + \frac{1}{2}g\frac{1}{c}(Z_{\mu}^{0}(H\partial_{\mu}\phi^{0} - \phi^{0}\partial_{\mu}H) - ig\frac{s_{\mu}^{2}}{c}MZ_{\mu}^{0}(W_{\mu}^{+}\phi^{-} - W_{\mu}^{-}\phi^{+}) +
                                    igs_w MA_\mu (W_\mu^+ \phi^- - W_\mu^- \phi^+) - ig \frac{1-2c_w^2}{2c_w} Z_\mu^0 (\phi^+ \partial_\mu \phi^- - \phi^- \partial_\mu \phi^+) +
                             igs_w A_\mu (\phi^+ \partial_\mu \phi^- - \phi^- \partial_\mu \phi^+) - \frac{1}{4} g^2 W_\mu^+ W_\mu^- [H^2 + (\phi^0)^2 + 2\phi^+ \phi^-] -
                            \frac{1}{4}g^2\frac{1}{c^2}Z_{\mu}^0Z_{\mu}^0[H^2+(\phi^0)^2+2(2s_w^2-1)^2\phi^+\phi^-]-\frac{1}{2}g^2\frac{s_w^2}{c}Z_{\mu}^0\phi^0(W_{\mu}^+\phi^-+\phi^-)
                                    W_{\mu}^{-}\phi^{+}) - \frac{1}{2}ig^{2}\frac{s_{w}^{2}}{c_{w}}Z_{\mu}^{0}H(W_{\mu}^{+}\phi^{-} - W_{\mu}^{-}\phi^{+}) + \frac{1}{2}g^{2}s_{w}A_{\mu}\phi^{0}(W_{\mu}^{+}\phi^{-} + W_{\mu}^{-}\phi^{+})
                      W_{\mu}^{-}\phi^{+}) + \frac{1}{2}ig^{2}s_{w}A_{\mu}H(W_{\mu}^{+}\phi^{-} - W_{\mu}^{-}\phi^{+}) - g^{2}\frac{s_{w}}{c_{w}}(2c_{w}^{2} - 1)Z_{\mu}^{0}A_{\mu}\phi^{+}\phi^{-} - W_{\mu}^{-}\phi^{+})
                                    g^1 s_w^2 A_\mu \bar{A}_\mu \phi^+ \phi^- - \bar{e}^\lambda (\gamma \partial + m_e^\lambda) e^\lambda - \bar{\nu}^\lambda \gamma \partial \bar{\nu}^\lambda - \bar{u}_i^\lambda (\gamma \partial + m_u^\lambda) u_i^\lambda -
     \frac{ig}{4c_w} Z_{\mu}^0 [(\bar{\nu}^{\lambda} \gamma^{\mu} (1 + \gamma^5) \nu^{\lambda}) + (\bar{e}^{\lambda} \gamma^{\mu} (4s_w^2 - 1 - \gamma^5) e^{\lambda}) + (\bar{u}_i^{\lambda} \gamma^{\mu} (\frac{4}{3} s_w^2 - 1 - \gamma^5) e^{\lambda}) + (\bar{u}_i^{\lambda} \gamma^{\mu} (\frac{4}{3} s_w^2 - 1 - \gamma^5) e^{\lambda})]
                      (1-\gamma^5)u_j^{\lambda}) + (\bar{d}_j^{\lambda}\gamma^{\mu}(1-\frac{8}{3}s_w^2-\gamma^5)d_j^{\lambda})] + \frac{ig}{2\sqrt{2}}W_{\mu}^+[(\bar{\nu}^{\lambda}\gamma^{\mu}(1+\gamma^5)e^{\lambda}) + (\bar{\nu}^{\lambda}\gamma^{\mu}(1+\gamma^5)e^{\lambda})]
                               (\bar{u}_j^{\lambda}\gamma^{\mu}(1+\gamma^5)C_{\lambda\kappa}d_j^{\kappa})] + \frac{ig}{2\sqrt{2}}W_{\mu}^{-}[(\bar{e}^{\lambda}\gamma^{\mu}(1+\gamma^5)\nu^{\lambda}) + (\bar{d}_j^{\kappa}C_{\lambda\kappa}^{\dagger}\gamma^{\mu}(1+\gamma^5)\nu^{\lambda})]
                                                    \gamma^{5}(u_{i}^{\lambda})] + \frac{ig}{2\sqrt{2}} \frac{m_{e}^{\lambda}}{M} [-\phi^{+}(\bar{\nu}^{\lambda}(1-\gamma^{5})e^{\lambda}) + \phi^{-}(\bar{e}^{\lambda}(1+\gamma^{5})\nu^{\lambda})] -
    \frac{q}{2} \frac{m_e^{\lambda}}{M} [H(\bar{e}^{\lambda}e^{\lambda}) + i\phi^0(\bar{e}^{\lambda}\gamma^5e^{\lambda})] + \frac{ig}{2M\sqrt{2}}\phi^+ [-m_d^{\kappa}(\bar{u}_j^{\lambda}C_{\lambda\kappa}(1-\gamma^5)d_j^{\kappa}) +
                      m_u^{\lambda}(\bar{u}_i^{\lambda}C_{\lambda\kappa}(1+\gamma^5)d_i^{\kappa}) + \frac{ig}{2M\sqrt{2}}\phi^-[m_d^{\lambda}(\bar{d}_i^{\lambda}C_{\lambda\kappa}^{\dagger}(1+\gamma^5)u_i^{\kappa}) - m_u^{\kappa}(\bar{d}_i^{\lambda}C_{\lambda\kappa}^{\dagger}(1+\gamma^5)u_i^{\kappa})]
                                                           \gamma^5)u_i^{\kappa}] - \frac{g}{2} \frac{m_u^{\lambda}}{M} H(\bar{u}_i^{\lambda} u_i^{\lambda}) - \frac{g}{2} \frac{m_d^{\lambda}}{M} H(\bar{d}_i^{\lambda} d_i^{\lambda}) + \frac{ig}{2} \frac{m_u^{\lambda}}{M} \phi^0(\bar{u}_i^{\lambda} \gamma^5 u_i^{\lambda}) -
                            \frac{ig}{2} \frac{m_{\dot{\alpha}}^{\lambda}}{M} \phi^{0}(\bar{d}_{i}^{\lambda} \gamma^{5} d_{i}^{\lambda}) + \bar{X}^{+}(\partial^{2} - M^{2})X^{+} + \bar{X}^{-}(\partial^{2} - M^{2})X^{-} + \bar{X}^{0}(\partial^{2} - M^{2})X^{-})
       \frac{M^2}{c^2} X^0 + \bar{Y} \partial^2 Y + igc_w W_u^+ (\partial_\mu \bar{X}^0 X^- - \partial_\mu \bar{X}^+ X^0) + igs_w W_u^+ (\partial_\mu \bar{Y} X^- - \partial_\mu \bar{X}^+ X^0) + igs_w W_u^+ (\partial_\mu \bar{Y} X^- - \partial_\mu \bar{X}^+ X^0) + igs_w W_u^+ (\partial_\mu \bar{Y} X^- - \partial_\mu \bar{X}^+ X^0) + igs_w W_u^+ (\partial_\mu \bar{Y} X^- - \partial_\mu \bar{X}^+ X^0) + igs_w W_u^+ (\partial_\mu \bar{Y} X^- - \partial_\mu \bar{X}^+ X^0) + igs_w W_u^+ (\partial_\mu \bar{Y} X^- - \partial_\mu \bar{X}^+ X^0) + igs_w W_u^+ (\partial_\mu \bar{Y} X^- - \partial_\mu \bar{X}^+ X^0) + igs_w W_u^+ (\partial_\mu \bar{Y} X^- - \partial_\mu \bar{X}^+ X^0) + igs_w W_u^+ (\partial_\mu \bar{Y} X^- - \partial_\mu \bar{X}^+ X^0) + igs_w W_u^+ (\partial_\mu \bar{Y} X^- - \partial_\mu \bar{X}^+ X^0) + igs_w W_u^+ (\partial_\mu \bar{Y} X^- - \partial_\mu \bar{X}^+ X^0) + igs_w W_u^+ (\partial_\mu \bar{Y} X^- - \partial_\mu \bar{X}^+ X^0) + igs_w W_u^+ (\partial_\mu \bar{Y} X^- - \partial_\mu \bar{X}^+ X^0) + igs_w W_u^+ (\partial_\mu \bar{Y} X^- - \partial_\mu \bar{X}^+ X^0) + igs_w W_u^+ (\partial_\mu \bar{Y} X^- - \partial_\mu \bar{X}^+ X^0) + igs_w W_u^+ (\partial_\mu \bar{Y} X^- - \partial_\mu \bar{X}^+ X^0) + igs_w W_u^+ (\partial_\mu \bar{Y} X^- - \partial_\mu \bar{X}^+ X^0) + igs_w W_u^+ (\partial_\mu \bar{Y} X^- - \partial_\mu \bar{X}^+ X^0) + igs_w W_u^+ (\partial_\mu \bar{Y} X^- - \partial_\mu \bar{X}^+ X^0) + igs_w W_u^+ (\partial_\mu \bar{Y} X^- - \partial_\mu \bar{Y} X^- - \partial_\mu \bar{Y}^- X^0) + igs_w W_u^+ (\partial_\mu \bar{Y} X^- - \partial_\mu \bar{Y}^- X^0) + igs_w W_u^+ (\partial_\mu \bar{Y} X^- - \partial_\mu \bar{Y}^- X^0) + igs_w W_u^+ (\partial_\mu \bar{Y} X^0 - \partial_\mu \bar{Y}^- X^0) + igs_w W_u^+ (\partial_\mu \bar{Y} X^0 - \partial_\mu \bar{Y}^- X^0) + igs_w W_u^+ (\partial_\mu \bar{Y} X^0 - \partial_\mu \bar{Y}^- X^0) + igs_w W_u^+ (\partial_\mu \bar{Y} X^0 - \partial_\mu \bar{Y}^- X^0) + igs_w W_u^+ (\partial_\mu \bar{Y} X^0 - \partial_\mu \bar{Y}^- X^0) + igs_w W_u^+ (\partial_\mu \bar{Y}^- X^0 - \partial_\mu \bar{Y}^- X^0) + igs_w W_u^+ (\partial_\mu \bar{Y}^- X^0 - \partial_\mu \bar{Y}^- X^0) + igs_w W_u^+ (\partial_\mu \bar{Y}^- X^0 - \partial_\mu \bar{Y}^- X^0) + igs_w W_u^+ (\partial_\mu \bar{Y}^- X^0 - \partial_\mu \bar{Y}^- X^0) + igs_w W_u^+ (\partial_\mu \bar{Y}^- X^0 - \partial_\mu \bar{Y}^- X^0) + igs_w W_u^+ (\partial_\mu \bar{Y}^- X^0 - \partial_\mu \bar{Y}^- X^0) + igs_w W_u^+ (\partial_\mu \bar{Y}^- X^0 - \partial_\mu \bar{Y}^- X^0 - \partial_\mu \bar{Y}^- X^0) + igs_w W_u^+ (\partial_\mu \bar{Y}^- X^0 - \partial_\mu \bar{Y}^- X^0 - \partial_\mu \bar{Y}^- X^0) + igs_w W_u^+ (\partial_\mu \bar{Y}^- X^0 - \partial_\mu \bar{Y}^- X^0 + igs_w W_u^+ (\partial_\mu \bar{Y}^- X^0 - \partial_\mu \bar{Y}^
                                    \partial_{\mu}\bar{X}^{+}Y) + igc_{w}W_{\mu}^{-}(\partial_{\mu}\bar{X}^{-}X^{0} - \partial_{\mu}\bar{X}^{0}X^{+}) + igs_{w}W_{\mu}^{-}(\partial_{\mu}\bar{X}^{-}Y - \partial_{\mu}\bar{X}^{-}Y - \partial_{\mu}\bar{X}^{-}Y - \partial_{\mu}\bar{X}^{-}Y - \partial_{\mu}\bar{X}^{-}Y - \partial_{\mu}\bar{X}^{-}Y -
                                   \partial_{\mu}\bar{Y}X^{+}) + igc_{w}Z_{\mu}^{0}(\partial_{\mu}\bar{X}^{+}X^{+} - \partial_{\mu}\bar{X}^{-}X^{-}) + igs_{w}A_{\mu}(\partial_{\mu}\bar{X}^{+}X^{+} - \partial_{\mu}\bar{X}^{-}X^{-})
                                                                  \partial_{\mu}\bar{X}^{-}X^{-}) - \frac{1}{2}gM[\bar{X}^{+}X^{+}H + \bar{X}^{-}X^{-}H + \frac{1}{c^{2}}\bar{X}^{0}X^{0}H] +
                      \frac{1-2c_w^2}{2c_w}igM[\bar{X}^+X^0\phi^+ - \bar{X}^-X^0\phi^-] + \frac{1}{2c_w}igM[\bar{X}^0X^-\phi^+ - \bar{X}^0X^+\phi^-] +
                                               igMs_w[\bar{X}^0X^-\phi^+ - \bar{X}^0X^+\phi^-] + \frac{1}{2}igM[\bar{X}^+X^+\phi^0 - \bar{X}^-X^-\phi^0]
```

- Abbiamo studiato la diffusione di una carica da un potenziale statico
 - Calcolo al primo ordine con un diagramma di Feynman



$$j^{\nu}(x) = (\rho, \rho \mathbf{v}) \rightarrow (-Z\delta(x), 0)$$
 $-iej^{\nu}(q) = -iZe(1, \mathbf{0})$

- Si può calcolare la sezione d'urto
 - La sezione d'urto calcolata può essere utilizzata per misurare il valore sperimentale della carica elettrica
 - La misura della sezione d'urto per $q^2
 ightarrow 0$ permette di ricavare il valore di e
- All'ordine successivo l'ampiezza diventa

$$-i\mathfrak{M}=\left(ie\overline{u}_{\!f}\gamma^{\mu}u_{\!i}\right)\!\frac{-ig_{\mu\rho}}{q^{2}}I^{\rho\sigma}\left(q^{2}\right)\!\frac{-ig_{\sigma\nu}}{q^{2}}\!\left(-ij^{\nu}\left(q\right)\right)$$

$$I^{\rho\sigma} = -\int \frac{d^4p}{\left(2\pi\right)^2} Tr \left\{ ie\gamma^{\rho} \frac{i(\not p+m)}{p^2 - m^2} ie\gamma^{\sigma} \frac{i(\not q-\not p+m)}{\left(q-p\right)^2 - m^2} \right\}$$

$$-iej^{\nu}(q) = -ieZ(1,\mathbf{0})$$



- Il calcolo di $I^{\alpha\beta}$ è molto laborioso e può essere trovato in testi di Teoria dei Campi Quantistici $I^{\rho\sigma}=-ig^{\rho\sigma}q^2I\left(q^2\right)+\dots$
 - Diamo solo i risultati principali
 - I puntini ... rappresentano contributi proporzionali a $q^{\alpha}q^{\beta}$ che danno contributi nulli quando accoppiati a correnti esterne conservate
 - La funzione $I(q^2)$ è data da

$$I(q^{2}) = \frac{\alpha}{3\pi} \int_{m^{2}}^{\infty} \frac{dp^{2}}{p^{2}} + \frac{2\alpha}{\pi} \int_{0}^{1} z(1-z) \ln\left(1 - \frac{q^{2}z(1-z)}{m^{2}}\right) dz$$

- Il primo termine diverge logaritmicamente
 - Per poter manipolare l'espressione si introduce un cut-off Λ sul primo integrale e si fa tendere alla fine $\Lambda \to \infty$
- ullet Il secondo termine $\dot{f e}$ finito. Le approssimazioni per alto q^2 e basso q^2 sono

$$I\left(q^2\right) \simeq \frac{\alpha}{3\pi} \ln \frac{\Lambda^2}{m^2} + \frac{\alpha}{15\pi} \frac{q^2}{m^2} \qquad -q^2 \ / \ m^2 \ll 1$$

$$I\left(q^2\right) \simeq rac{lpha}{3\pi} \ln rac{\Lambda^2}{m^2} - rac{lpha}{3\pi} \ln \left(rac{-q^2}{m^2}
ight) \qquad -q^2 \ / \ m^2 \gg 1$$

• Evidentemente $I(q^2)$ è privo di significato fisico, a meno di non riuscire a "eliminare" o "ridefinire" la parte divergente

- Nelle ampiezze di 1º e 2º ordine le correnti sono le stesse
 - Il calcolo modifica il propagatore
 - · Possiamo rappresentare graficamente come
- Otteniamo

$$\begin{split} &iamo \\ &-i\mathfrak{M} = \left(ie\overline{u}_f\gamma^\mu u_i\right) \!\!\left[\frac{-ig_{\mu\nu}}{q^2} + \frac{-ig_{\mu\rho}}{q^2} \!\left(-ig^{\rho\sigma}q^2I\left(q^2\right)\right) \!\!\frac{-ig_{\sigma\nu}}{q^2} \!\!\right] \!\!\left(-iej^\nu\left(q\right)\right) \\ &-i\mathfrak{M} = \left(ie\overline{u}_f\gamma^\mu u_i\right) \!\!\left[\frac{-ig_{\mu\nu}}{q^2} + \frac{-ig_{\mu\nu}}{q^2} \!\left(-I\!\left(q^2\right)\right)\right] \!\!\left(-iej^\nu\left(q\right)\right) \end{split}$$

$$-i\mathfrak{M}=\left(ie\overline{u}_{\!f}\gamma^{\mu}u_{\!i}\right)\!\frac{-ig_{\mu\nu}}{q^{2}}\!\!\left[1-I\!\left(q^{2}\right)\right]\!\!\left(-iej^{\nu}\left(q\right)\right)$$

• Utilizzando l'approssimazione per basso q^2 , l'ampiezza diventa

$$-i\mathfrak{M}=\left(ie\overline{u}_{f}\gamma^{\mu}u_{i}\right)\frac{-ig_{\mu\nu}}{q^{2}}\Bigg[1-\frac{\alpha}{3\pi}\ln\frac{\Lambda^{2}}{m^{2}}-\frac{\alpha}{15\pi}\frac{q^{2}}{m^{2}}\Bigg]\Big(-iej^{\nu}\left(q\right)\Big)$$

• Trascurando termini di ordine $lpha^2$ possiamo riscriverla come

$$-i\mathfrak{M}=\Big(ie\overline{u}_{\!f}\gamma^{\mu}u_{\!i}\,\Big)\frac{-ig_{\mu\nu}}{q^2}\Bigg[1-\frac{\alpha}{3\pi}\ln\frac{\Lambda^2}{m^2}\Bigg]\Bigg[1-\frac{\alpha}{15\pi}\frac{q^2}{m^2}\Bigg]\Big(-iej^{\nu}\left(q\right)\Big)$$

 $\frac{2}{5}$

$$-i\mathfrak{M}=\Big(ie\overline{u}_{\!f}\gamma^{\mu}u_{\!i}\,\Big)\frac{-ig_{\mu\nu}}{q^2}\Bigg[1-\frac{\alpha}{3\pi}\ln\frac{\Lambda^2}{m^2}\Bigg]\Bigg[1-\frac{\alpha}{15\pi}\frac{q^2}{m^2}\Bigg]\Big(-iej^{\nu}\left(q\right)\Big)$$

- Possiamo associare il termine divergente alla carica elettrica
 - Si definisce la carica rinormalizzata

$$e_R = e \left[1 - \frac{\alpha}{3\pi} \ln \frac{\Lambda^2}{m^2} \right]^{\frac{1}{2}}$$

• Allo stesso ordine di approssimazione, vale anche $1 - \frac{\alpha}{15\pi} \frac{q^2}{m^2} \simeq 1 - \frac{\alpha_R}{15\pi} \frac{q^2}{m^2}$

$$1 - \frac{\alpha}{15\pi} \frac{q^2}{m^2} \simeq 1 - \frac{\alpha_R}{15\pi} \frac{q^2}{m^2}$$

L'ampiezza diventa

$$-i\mathfrak{M}=\left(ie_{R}\overline{u}_{f}\gamma^{\mu}u_{i}\right)\frac{-ig_{\mu\nu}}{q^{2}}\bigg[1-\frac{\alpha_{R}}{15\pi}\frac{q^{2}}{m^{2}}\bigg]\Big(-ie_{R}j^{\nu}\left(q\right)\Big)$$

- La carica elettrica utilizzata nell'ampiezza deve essere misurata dall'esperimento
 - Ad esempio, misurando la sezione d'urto
 - Notiamo che la carica presente dell'ampiezza (carica rinormalizzata e_R) è diversa da quella usata nella Lagrangiana (carica "nuda")
 - Sottolineiamo infine, anche se ovvio, che le formule della sezione d'urto a livello d'albero e a livello 1-loop sono differenti

- Si può utilizzare la formula 1-loop
 - ullet Si utilizza la misura della sezione d'urto (ad esempio per $q^2 o 0$) per definire e_R
 - La divergenza viene assorbita nella definizione della carica
 - Il processo si chiama rinormalizzazione
- Che la carica elettrica di una particella possa essere diversa nel vuoto e all'interno di un materiale è una circostanza nota in fisica dello stato solido
 - Carica nel vuoto e carica nella materia sono differenti
- Nella teoria dei campi ci sono differenze
 - L'elettrone non può essere isolato dalla sorgente della rinormalizzazione
 - La carica è modificata dal campo elettromagnetico che lei stessa genera
 - Fluttuazioni del vuoto (vacuum fluctuations)
 - · La correzione è infinita
- ullet Vale comunque la pena notare che la scala Λ a cui la divergenza comincia a contribuire è estremamente elevata

$$\alpha \ln \frac{\Lambda^2}{m^2} \ll 1$$

$$\ln \frac{\Lambda}{m} \ll \frac{1}{2\alpha}$$

• Corrisponde ad una lunghezza $l_{\Lambda}=\hbar/\Lambda\,c=10^{-27}~{
m fm}$

- A questa scala di energia (o di lunghezza) probabilmente sono presenti altri fenomeni
- Che la rinormalizzazione permetta di disaccoppiare la teoria in esame dai fenomeni a scale così distanti è una circostanza molto rassicurante
 - ullet È dovuto alla dipendenza logaritmica da Λ
- La carica elettrica è rinormalizzabile a tutti gli ordini





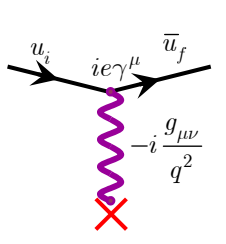
$$-i\mathfrak{M} = \left(ie\overline{u}_{\!f}\gamma^\mu u_i\right) \frac{-ig_{\mu\nu}}{q^2} \left(-iej^\nu\left(q\right)\right) \quad \rightarrow \left(ie\overline{u}_{\!f}\gamma^0 u_i\right) \frac{-i}{q^2} \left(-iZe\right) \qquad \quad \frac{Ze^2}{q^2} \leftrightarrow \frac{Ze^2}{4\pi} \frac{1}{r}$$

• La correzione introdotta dai loop

$$\frac{Ze^2}{q^2} \rightarrow \frac{Ze_R^2}{q^2} \bigg(1 - \frac{\alpha_R}{15\pi} \frac{q^2}{m^2} \bigg) \qquad \qquad \frac{Ze^2}{4\pi} \frac{1}{r} \rightarrow \bigg(1 - \frac{\alpha_R}{15\pi m^2} \nabla^2 \bigg) \frac{Ze_R^2}{4\pi} \frac{1}{r} \qquad \qquad \underbrace{ \int_{-i\frac{g_{\mu\nu}}{q^2}}^{ie\gamma^{\mu}} \frac{g_{\mu\nu}}{q^2} dr}_{-i\frac{g_{\mu\nu}}{q^2}}$$
 potenziale diventa pertanto

• Il potenziale diventa pertanto

$$V(r) = \frac{Ze_R^2}{4\pi} \frac{1}{r} - \frac{Ze_R^4}{60\pi^2 m^2} \delta(\mathbf{r}) \qquad \alpha_R = \frac{e_R^2}{4\pi}$$



Lamb Shift

· Le correzioni apportate al potenziale di Coulomb hanno un effetto misurabile

$$V(r) = \frac{Ze_R^2}{4\pi} \frac{1}{r} - \frac{Ze_R^4}{60\pi^2 m^2} \delta(\mathbf{r})$$

- Il potenziale proporzionale a $\delta({f r})$ può essere trattato come una perturbazione
- In meccanica non relativistica gli stati $2s_{1/2}$ e $2p_{1/2}$ sono degeneri
 - La teoria di Dirac rimuove la degenerazione
 - La separazione h
 u fra gli stati corrisponde ad una frequenza $u = 1057 \; \mathrm{MHz}$
 - La polarizzazione del vuoto corregge questa separazione per $\Delta
 u = -27~\mathrm{MHz}$
 - L'effetto della polarizzazione del vuoto è stato verificato sperimentalmente
- Considerato un grande successo della teoria quantistica dei campi
 - Dimostra che la rinormalizzazione è una procedura che produce risultati fisicamente significativi



Shelter Island Conference (1947)

- Hans Bethe (1967)
- David Bohm
- Gregory Breit
- Karl K. Darrow
- Herman Feshbach
- Richard Feynman (1965)
- Hendrik Kramers
- Willis Lamb (1955)
- Duncan MacInnes
- Robert Eugene Marshak
- John von Neumann
- Arnold Nordsieck



- J. Robert Oppenheimer
- Abraham Pais
- Linus Pauling (1954)
- Isidor Isaac Rabi (1944)
- Bruno Rossi
- Julian Schwinger (1965)
- Robert Serber
- Edward Teller
- George Uhlenbeck
- John Hasbrouck van Vleck (1977)
- Victor Frederick Weisskopf
- · John Archibald Wheeler

Richard Feyman (seated, with pen in hand) illustrates a point at the conference. From left to right, standing, are: W. Lamb, K.K. Darrow, Victor Weiskopf, George E. Uhlenbeck, Robert E. Marshak, Julian Schwinger, David Bohm, From left to right, seated are: J. Robert Oppenheimer (holding pipe), Abraham Pais, Richard P. Feynman, Herman Feshbach.